



УКРАЇНА

(19) UA (11) 154640 (13) U

(51) МПК (2023.01)

G01K 13/00

G01K 13/08 (2006.01)

НАЦІОНАЛЬНИЙ ОРГАН  
ІНТЕЛЕКТУАЛЬНОЇ ВЛАСНОСТІ  
ДЕРЖАВНА ОРГАНІЗАЦІЯ  
"УКРАЇНСЬКИЙ НАЦІОНАЛЬНИЙ  
ОФІС ІНТЕЛЕКТУАЛЬНОЇ  
ВЛАСНОСТІ ТА ІННОВАЦІЙ"

## (12) ОПИС ДО ПАТЕНТУ НА КОРИСНУ МОДЕЛЬ

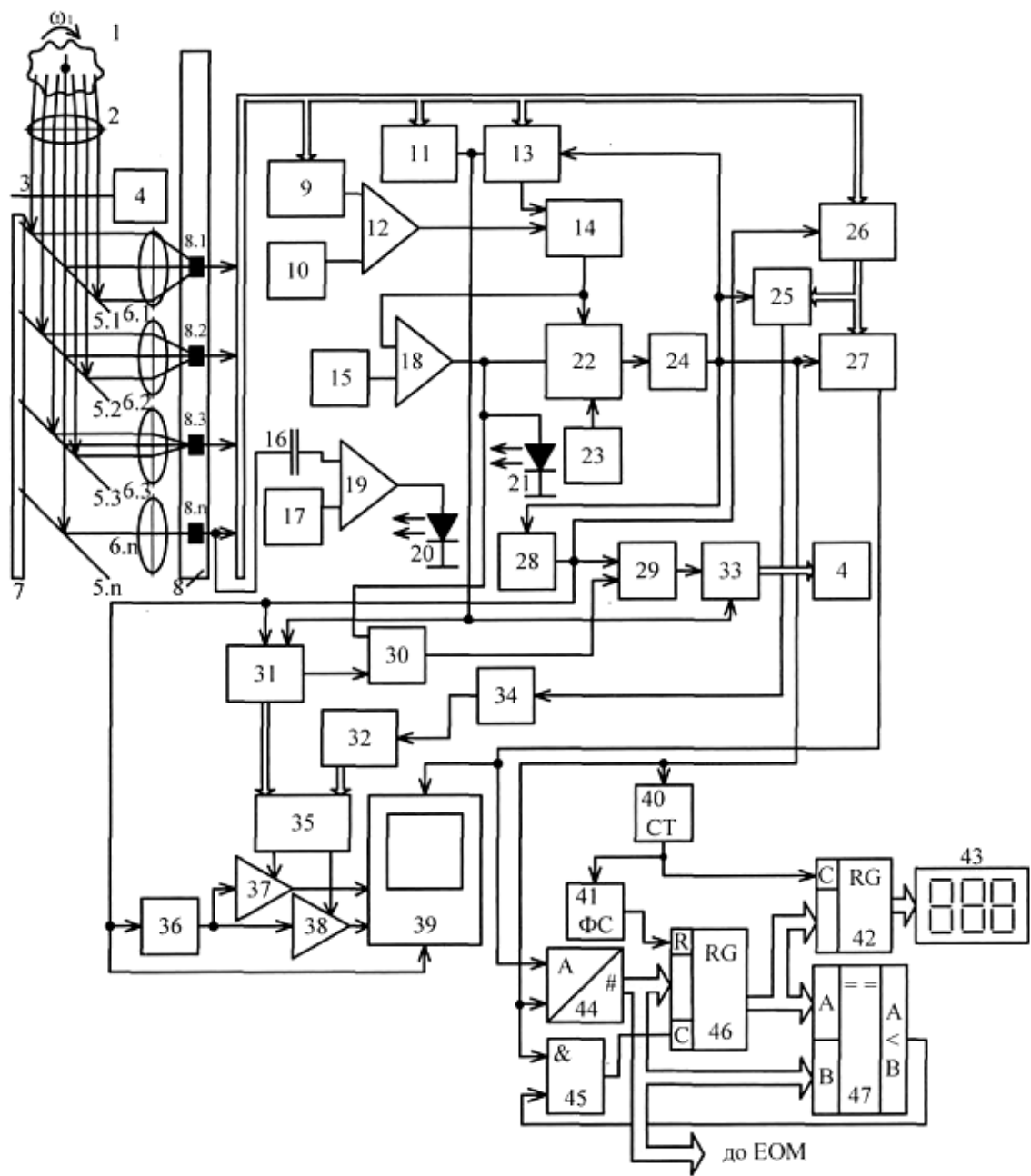
(21) Номер заявки:	у 2023 01733	(72) Винахідник(и): Грабко Володимир Віталійович (UA), Грабко Валентин Володимирович (UA), Проценко Дмитро Петрович (UA), Тимків Зоряна Олегівна (UA)
(22) Дата подання заявки:	17.04.2023	
(24) Дата, з якої є чинними права інтелектуальної власності:	30.11.2023	
(46) Публікація відомостей про державну реєстрацію:	29.11.2023, Бюл.№ 48	(73) Володілець (володільці): <b>ВІННИЦЬКИЙ НАЦІОНАЛЬНИЙ ТЕХНІЧНИЙ УНІВЕРСИТЕТ,</b> вул. Хмельницьке шосе, 95, м. Вінниця, 21021 (UA)

## (54) ПРИСТРІЙ ДЛЯ БЕЗКОНТАКТНОГО ВИМІРЮВАННЯ ТЕМПЕРАТУРИ

### (57) Реферат:

Пристрій для безконтактного вимірювання температури містить об'єктив, діафрагму, отвір якої являє собою сектор, доповнений круглим отвором. Введено другий лічильник, формувач сигналу, елемент I, два регістри, цифровий компаратор та цифровий індикатор. Причому вихідна цифрова шина першого аналого-цифрового перетворювача підключена до ЕОМ та з'єднана з вхідною цифровою шиною першого регістра. Вихідна цифрова шина якого підключена до вхідної цифрової шини другого регістра та до першої вхідної цифрової шини цифрового компаратора. Друга вхідна цифрова шина якого з'єднана з вихідною цифровою шиною першого аналого-цифрового перетворювача, а вихід підключений до другого входу елемента I. Перший вхід якого разом з входом другого лічильника з'єднані з виходом перетворювача напруга-частота. Вихід елемента I підключений до першого входу першого регістра. Другий вхід якого з'єднаний з виходом формувача сигналу, вхід якого разом зі входом другого регістра підключені до вихіду другого лічильника. Вихідна цифрова шина другого регістра з'єднана з вхідною цифровою шиною цифрового індикатора.

U  
UA 154640 U



Корисна модель належить до безконтактної термометрії і може бути використана для вимірювання температури нерухомих об'єктів або об'єктів, що обертаються, зокрема потужних електрических машин.

Відомий пристрій для безконтактного вимірювання температури (Патент № 19737 (Україна), М. кл. G01K 13/00, бюл. № 12, 2006), що містить об'єктив, діафрагму, отвір якої являє собою сектор, доповнений круглим отвором, центр якого співпадає з вершиною сектора та головною оптичною віссю, п дзеркал, закріплених на оптичній лінійці таким чином, що їх площини утворюють кут 45° з головною оптичною віссю, діафрагмуючі отвори дзеркал являють собою еліпси, на одній оптичній осі з якими встановлені п лінз та лінійка п інфрачервоних (ІЧ) датчиків, вихід п-го ІЧ датчика через конденсатор підключений до другого входу першого компаратора, перший вхід якого з'єднаний з виходом першого джерела опорної напруги, а вихід підключений до входу першого світлодіода, вихід третього джерела опорної напруги з'єднаний з першим входом першого комутатора, другий вхід якого разом з другим входом другого компаратора підключені до виходу генератора напруги, що змінюється лінійно, перший вхід другого компаратора з'єднаний з виходом другого джерела опорної напруги, а вихід підключений до третього вхіду першого комутатора, до входу другого світлодіода та до першого входу другого ключа, другий вхід якого з'єднаний з виходом лічильника, вхід першого вхіду якого, а також другий вхід першого ключа, вхід буферного реєстра, вхід генератора напруги, що змінюється ступінчасто, та перший вхід відеоконтрольного блока (ВКБ) підключені до виходу дільника частоти, вхід якого, а також вхід другого комутатора та перший вхід першого аналого-цифрового перетворювача (АЦП) з'єднані з виходом перетворювача напруга-частота, вхід якого підключений до виходу першого комутатора, виходи п ІЧ-датчиків з'єднані з вхідною шиною буферного реєстра, вихідна шина якого підключена до вхідної шини другого комутатора, вихід якого з'єднаний з другим входом першого АЦП, вихідна шина якого підключена до вхідної шини інтерфейсного блока, вихідна шина якого з'єднана з колами ЕОМ, вихід другого комутатора підключений до другого входу ВКБ, третій і четвертий входи якого з'єднані, відповідно, з виходами першого і другого керуючих підсилювачів, перші входи яких підключені до виходу генератора напруги, що змінюється ступінчасто, вихідна шина лічильника з'єднана з першою вхідною шиною постійно запам'ятовуючого блока (ПЗБ), перший і другий виходи якого підключені, відповідно, до других входів першого і другого керуючих підсилювачів, виходи першого та другого світлодіодів з'єднані з загальною шиною, вихід другого ключа підключений до першого входу першого ключа, вихід якого з'єднаний зі входом крокового двигуна, вал якого зв'язаний з діафрагмою, вихід перетворювача частота-напруга підключений до другого входу третього компаратора, перший вхід якого з'єднаний з виходом четвертого джерела опорної напруги, а вихід підключений до першого входу генератора напруги, що змінюється лінійно, другий вхід якого з'єднаний з виходом блока порівняння швидкості, перший вхід якого разом зі входом блока обробки сигналу підключений до виходу перетворювача напруга-частота, вихідна шина буферного реєстра з'єднана з вхідною шиною блока обробки сигналу, вихід якого підключений через блок обчислення до входу другого АЦП, вихідна шина якого з'єднана з другою вхідною шиною ПЗБ, виходи п ІЧ-датчиків підключені до вхідних шин перетворювача частота-напруга та блока порівняння швидкості.

Головним недоліком даного пристрою є те, що він не дозволяє визначати найбільше значення температури теплових полів, наприклад, обмоток потужних електрических машин, що звужує функціональні можливості пристрою в задачі спостереження за об'єктами, що обертаються, зокрема потужними електрическими машинами.

Як аналог вибрано пристрій для безконтактного вимірювання температури (Патент № 50132 (Україна), М. кл. G01K 13/00, бюл. № 10, 2010), що містить об'єктив, діафрагму, отвір якої являє собою сектор, доповнений круглим отвором, центр якого співпадає з вершиною сектора та головною оптичною віссю, п дзеркал, закріплених на оптичній лінійці таким чином, що їх площини утворюють кут 45° з головною оптичною віссю, діафрагмуючі отвори дзеркал являють собою еліпси, на одній оптичній осі з якими встановлені п лінз та лінійка п ІЧ-датчиків, кроковий двигун, перетворювач частота-напруга, чотири джерела опорної напруги, блок визначення напрямку обертання, три компаратори, блок порівняння швидкості, генератор напруги, що змінюється лінійно, конденсатор, два світлодіоди, три комутатори, перетворювач напруга-частота, блок обробки сигналу, буферний реєстр, дільник частоти, два ключі, лічильник (в подальшому - перший лічильник), два аналого-цифрових перетворювачі (АЦП), блок обчислення, постійно запам'ятовуючий блок (ПЗБ), генератор напруги, що змінюється ступінчасто, два керуючі підсилювачі, відеоконтрольний блок (ВКБ), інтерфейсний блок, причому вихід п-го ІЧ-датчика через конденсатор підключений до другого входу першого компаратора, перший вхід якого з'єднаний з виходом першого джерела опорної напруги, а вихід

підключений до входу першого світлодіода, вихід третього джерела опорної напруги з'єднаний з першим входом першого комутатора, другий вхід якого разом з другим входом другого компаратора підключені до виходу генератора напруги, що змінюється лінійно, перший вхід другого компаратора з'єднаний з виходом другого джерела опорної напруги, а вихід підключений до третього входу першого комутатора, до входу другого світлодіода та до першого входу другого ключа, другий вхід якого з'єднаний з виходом першого лічильника, 5 перший вхід якого, а також другий вхід першого ключа, вхід буферного реєстра, вхід генератора напруги, що змінюється ступінчасто, та перший вхід ВКБ підключений до виходу дільника частоти, вхід якого, а також вхід другого комутатора та перший вхід першого АЦП з'єднані з виходом 10 перетворювача напруга-частота, вхід якого підключений до виходу першого комутатора, виходи п ІЧ-датчиків з'єднані з вхідною шиною буферного реєстра, вихідна шина якого підключена до вхідної шини другого комутатора, вихід якого з'єднаний з другим входом першого АЦП, вихідна 15 шина якого підключена до вхідної шини інтерфейсного блока, вихідна шина якого з'єднана з колами ЕОМ, вихід другого комутатора підключений до другого входу ВКБ, третій і четвертий вхіди якого з'єднані, відповідно, з виходами першого і другого керуючих підсилювачів, перші 20 вхіди яких підключені до виходу генератора напруги, що змінюється ступінчасто, вихідна шина першого лічильника з'єднана з першою вхідною шиною ПЗБ, перший і другий виходи якого підключенні, відповідно, до других входів першого і другого керуючих підсилювачів, виходи 25 першого та другого світлодіодів з'єднані з загальною шиною, вихід другого ключа підключений до першого входу першого ключа, вал кривого двигуна зв'язаний з діафрагмою, вихід перетворювача частота-напруга підключений до другого входу третього компаратора, перший вхід якого з'єднаний з виходом четвертого джерела опорної напруги, а вихід підключений до 30 першого входу генератора напруги, що змінюється лінійно, другий вхід якого з'єднаний з виходом блока порівняння швидкості, перший вхід якого разом зі входом блока обробки сигналу підключений до виходу перетворювача напруга-частота, вихідна шина буферного реєстра з'єднана з вхідною шиною блока обробки сигналу, вихід якого підключений через блок обчислення до входу другого АЦП, вихідна шина якого з'єднана з другою вхідною шиною ПЗБ, 35 виходи п ІЧ-датчиків підключенні до вхідних шин перетворювача частота-напруга, блока порівняння швидкості та блока визначення напрямку обертання, вихід якого з'єднаний з другими вхідами блока порівняння швидкості, першого лічильника та третього комутатора, вихідна цифрова шина якого підключена до вхідної цифрової шини кривого двигуна, а перший вхід 40 з'єднаний з виходом першого ключа.

Головним недоліком даного пристрою є те, що він не дозволяє визначати найбільше значення температури теплових полів, наприклад, обмоток потужних електрических машин, що зважує функціональні можливості пристрою в задачі спостереження за об'єктами, що обертаються, зокрема потужними електрическими машинами.

В основу корисної моделі поставлена задача створення пристрою для безконтактного вимірювання температури, в якому за рахунок введення нових блоків та зв'язків між ними з'являється можливість визначати найбільше значення температури теплових полів, наприклад, обмоток потужних електрических машин, що розширяє функціональні можливості пристрою в задачі спостереження за об'єктами, що обертаються, зокрема потужними електрическими машинами.

Поставлена задача вирішується тим, що пристрій для безконтактного вимірювання температури містить об'єктив, діафрагму, отвір якої являє собою сектор, доповнений круглим отвором, центр якого співпадає з вершиною сектора та головною оптичною віссю, п дзеркал, закріплених на оптичній лінійці таким чином, що їх площини утворюють кут  $45^\circ$  з головною оптичною віссю, діафрагмуючі отвори п дзеркал являють собою еліпси, на одній оптичній осі з якими встановлені п лінз та лінійка п інфрачервоних датчиків, кривий двигун, перетворювач частота-напруга, чотири джерела опорної напруги, блок визначення напрямку обертання, три компаратори, блок порівняння швидкості, генератор напруги, що змінюється лінійно, конденсатор, два світлодіоди, три комутатори, перетворювач напруга-частота, блок обробки сигналу, буферний реєстр, дільник частоти, два ключі, перший лічильник, два аналогово-цифрових перетворювачі, блок обчислення, постійно запам'ятовуючий блок, генератор напруги, що змінюється ступінчасто, два керуючі підсилювачі, відеоконтрольний блок, причому вихід п-го інфрачервоного датчика через конденсатор підключений до другого входу першого компаратора, перший вхід якого з'єднаний з виходом першого джерела опорної напруги, а вихід підключений до входу першого світлодіода, вихід третього джерела опорної напруги з'єднаний з першим входом першого комутатора, другий вхід якого разом з другим входом другого компаратора підключені до виходу генератора напруги, що змінюється лінійно, перший вхід другого компаратора з'єднаний з виходом другого джерела опорної напруги, а вихід 45 50 55 60

підключений до третього входу першого комутатора, до входу другого світлодіода та до першого входу другого ключа, другий вхід якого з'єднаний з виходом першого лічильника, перший вхід якого, а також другий вхід першого ключа, вхід буферного реєстра, вхід генератора напруги, що змінюється ступінчасто, та перший вхід відеоконтрольного блока підключені до вихіду дільника частоти, вхід якого, а також вхід другого комутатора та перший вхід першого аналого-цифрового перетворювача з'єднані з виходом перетворювача напруга-частота, вхід якого підключений до вихіду першого комутатора, виходи п інфрачервоних датчиків з'єднані з вхідною шиною буферного реєстра, вихідна шина якого підключена до вхідної шини другого комутатора, вихід якого з'єднаний з другим входом першого аналого-цифрового перетворювача, вихід другого комутатора підключений до другого входу відеоконтрольного блока, третій і четвертий вхіди якого з'єднані, відповідно, з виходами першого і другого керуючих підсилювачів, перші вхіди яких підключенні до вихіду генератора напруги, що змінюється ступінчасто, вихідна шина першого лічильника з'єднана з першою вхідною шиною постійно запам'ятовуючого блока, перший і другий вихіди якого підключенні, відповідно, до других входів першого і другого керуючих підсилювачів, виходи першого та другого світлодіодів з'єднані з загальною шиною, вихід другого ключа підключений до першого входу першого ключа, вал крокового двигуна зв'язаний з діафрагмою, вихід перетворювача частота-напруга підключений до другого входу третього компаратора, перший вхід якого з'єднаний з виходом четвертого джерела опорної напруги, а вихід підключений до першого входу генератора напруги, що змінюється лінійно, другий вхід якого з'єднаний з виходом блока порівняння швидкості, перший вхід якого разом зі входом блока обробки сигналу підключений до виходу перетворювача напруга-частота, вихідна шина буферного реєстра з'єднана з вхідною шиною блока обробки сигналу, вихід якого підключений через блок обчисління до входу другого аналого-цифрового перетворювача, вихідна шина якого з'єднана з другою вхідною шиною постійно запам'ятовуючого блока, виходи п інфрачервоних датчиків підключенні до вхідних шин перетворювача частота-напруга, блока порівняння швидкості та блока визначення напрямку обертання, вихід якого з'єднаний з другими входами блока порівняння швидкості, першого лічильника та третього комутатора, вихідна цифрова шина якого підключена до вхідної цифрової шини крокового двигуна, а перший вхід з'єднаний з виходом першого ключа, згідно з корисною моделлю введено другий лічильник, формувач сигналу, елемент I, два реєстри, цифровий компаратор та цифровий індикатор, причому вихідна цифрова шина першого аналого-цифрового перетворювача підключена до ЕОМ та з'єднана з вхідною цифровою шиною першого реєстра, вихідна цифрова шина якого підключена до вхідної цифрової шини другого реєстра та до першої вхідної цифрової шини цифрового компаратора, друга вхідна цифрова шина якого з'єднана з вихідною цифровою шиною першого аналого-цифрового перетворювача, а вихід підключений до другого входу елемента I, перший вхід якого разом з входом другого лічильника з'єднані з виходом перетворювача напруга-частота, вихід елемента I підключений до першого входу першого реєстра, другий вхід якого з'єднаний з виходом формувача сигналу, вихід якого разом зі входом другого реєстра підключений до виходу другого лічильника, вихідна цифрова шина другого реєстра з'єднана з вхідною цифровою шиною цифрового індикатора.

Суть корисної моделі пояснює схема.

На схемі: 1 - об'єкт контролю; 2 - об'єктив; 3 - діафрагма; 4 - кроковий двигун; 5.1...5.n-p дзеркал; 6.1...6.n-p лінз; 7 - оптична лінійка; 8.1...8.n-n IЧ-датчиків; 9 - перетворювач частота-напруга; 10 - четверте джерело опорної напруги; 11 - блок визначення напрямку обертання; 12 - третій компаратор; 13 - блок порівняння швидкості; 14 - генератор напруги, що змінюється лінійно; 15 - друге джерело опорної напруги; 16 - конденсатор; 17 - перше джерело опорної напруги; 18, 19 - другий та перший компаратори; 20, 21 - перший та другий світлодіоди; 22 - перший комутатор; 23 - третє джерело опорної напруги; 24 - перетворювач напруга-частота; 25 - блок обробки сигналу; 26 - буферний реєстр; 27 - другий комутатор; 28 - дільник частоти; 29, 30 - перший та другий ключі; 31 перший лічильник; 32 - другий аналого-цифровий перетворювач (АЦП); 33 - третій комутатор; 34 - блок обчисління; 35 - постійно запам'ятовуючий блок (ПЗБ); 36 - генератор напруги, що змінюється ступінчасто; 37, 38 - перший і другий керуючі підсилювачі; 39 - відеоконтрольний блок (ВКБ); 40 - другий лічильник; 41 - формувач сигналу; 42 - другий реєстр; 43 - цифровий індикатор; 44 - перший аналого-цифровий перетворювач (АЦП); 45 - елемент I; 46 - перший реєстр; 47 - цифровий компаратор, причому об'єктив 2 розташований між об'єктом контролю 1 та діафрагмою 3, отвір якої являє собою сектор, доповнений круглим отвором, центр якого співпадає з вершиною сектора та головною оптичною віссю, п дзеркал 5, закріплених на оптичній лінійці 7 таким чином, що їх площини утворюють кут 45° з головною оптичною віссю, діафрагмувочі отвори п дзеркал 5 являють собою еліпси, на одній оптичній осі з якими встановлені п лінз 6 та лінійка п IЧ-датчиків 8n

через конденсатор 16 підключений до другого входу першого компаратора 19, перший вхід якого з'єднаний з виходом першого джерела опорної напруги 17, а вихід підключений до входу першого світлодіода 20, вихід третього джерела опорної напруги 23 з'єднаний з першим входом першого комутатора 22, другий вхід якого разом з другим входом другого компаратора 18 підключений до виходу генератора напруги, що змінюється лінійно, 14, перший вхід другого компаратора 18 з'єднаний з виходом другого джерела опорної напруги 15, а вихід підключений до третього входу першого комутатора 22, до входу другого світлодіода 21 та до першого входу другого ключа 30, другий вхід якого з'єднаний з виходом першого лічильника 31, перший вхід якого, а також другий вхід першого ключа 29, вхід буферного реєстра 26, вхід генератора напруги, що змінюється ступінчасто, 36 та перший вхід ВКБ 39 підключений до виходу дільника частоти 28, вхід якого, а також вхід другого комутатора 27 та перший вхід першого АЦП 44 з'єднані з виходом перетворювача напруга-частота 24, вхід якого підключений до виходу першого комутатора 22, виходи п IЧ-датчиків 8.1-8.п з'єднані з вхідною шиною буферного реєстра 26, вихідна шина якого підключена до вхідної шини другого комутатора 27, вихід якого з'єднаний з другим входом першого АЦП 44, вихід другого комутатора 27 підключений до другого входу ВКБ 39, третій і четвертий входи якого з'єднані, відповідно, з виходами першого 37 і другого 38 керуючих підсилювачів, перші входи яких підключенні до виходу генератора напруги, що змінюється ступінчасто, 36, вихідна шина першого лічильника з'єднана з першою вхідною шиною ПЗБ 35, перший і другий виходи якого підключенні, відповідно, до других входів першого 37 і другого 38 керуючих підсилювачів, виходи першого 20 та другого 21 світлодіодів з'єднані з загальною шиною, вихід другого ключа 30 підключений до першого входу первого ключа 29, вал кривого двигуна 4 зв'язаний з діафрагмою 3, вихід перетворювача частота-напруга 9 підключений до другого входу третього компаратора 12, перший вхід якого з'єднаний з виходом четвертого джерела опорної напруги 10, а вихід підключений до першого входу генератора напруги, що змінюється лінійно, 14, другий вхід якого з'єднаний з виходом блока порівняння швидкості 13, перший вхід якого разом зі входом блока обробки сигналу 25 підключений до виходу перетворювача напруга-частота 24, вихідна шина буферного реєстра 26 з'єднана з вхідною шиною блока обробки сигналу 25, вихід якого підключений через блок обчислення 34 до входу другого АЦП 32, вихідна шина якого з'єднана з другою вхідною шиною ПЗБ 35, виходи п IЧ-датчиків 8.1-8.п підключенні до вхідних шин перетворювача частота-напруга 9, блока порівняння швидкості 13 та блока визначення напрямку обертання 11, вихід якого з'єднаний з другими входами блока порівняння швидкості 13, першого лічильника 31 та третього комутатора 33, вихідна цифрова шина якого підключена до вхідної цифрової шини кривого двигуна 4, а перший вхід з'єднаний з виходом першого ключа 29, вихідна цифрова шина першого АЦП 44 підключена до ЕОМ та з'єднана з вхідною цифровою шиною першого реєстра 46, вихідна цифрова шина якого підключена до вхідної цифрової шини другого реєстра 42 та до першої вхідної цифрової шини цифрового компаратора 47, друга вхідна цифрова шина якого з'єднана з вхідною цифровою шиною першого АЦП 44, а вихід підключений до другого входу елемента I 45, перший вхід якого разом з входом другого лічильника 40 з'єднані з виходом перетворювача напруга-частота 24, вихід елемента I 45 підключений до першого входу першого реєстра 46, другий вхід якого з'єднаний з виходом формувача сигналу 41, вхід якого разом зі входом другого реєстра 42 підключений до виходу другого лічильника 40, вихідна цифрова шина другого реєстра 42 з'єднана з вхідною цифровою шиною цифрового індикатора 43.

Запропонований пристрій працює так. Перед початком роботи оптичну вісь пристрою суміщають з віссю обертання об'єкта контролю. Потік інфрачервоного випромінювання, що створюється поверхнею об'єкта контролю 1, який знаходиться на деякій відстані від оптичної системи пристрою, потрапляє на об'єктив 2, який перетворює його у випромінювання з променями, паралельними головній оптичній осі.

Області, що виділяються на тепловому зображенні об'єкта контролю 1 за допомогою п дзеркал 5, є концентричними сегментами круга. Оскільки ці дзеркала 5 встановлені на оптичній лінійці 7 під кутом  $45^\circ$  до головної оптичної осі, то отвори в дзеркалах 5 мають еліпсоподібну форму. Враховуючи те, що діафрагмуючі отвори концентричні, то при повному обертанні діафрагми 3 навколо осі через п лінз 6.1...6.п на п IЧ-датчиків 8.1...8.п надходить потік інфрачервоного випромінювання, що відповідає зображенням п сегментів всього зображення об'єкта контролю 1. Фіксуючи положення діафрагмуючого отвору діафрагми 3 в т напрямках полярної системи координат і здійснюючи її переривчастий обертальний рух за допомогою кривого двигуна 4, можна отримати інформацію про температуру  $N=m \cdot (n-1)+1$  точок об'єкта контролю 1. Це пояснюється тим, що центральна частина діафрагмуючого отвору діафрагми 3 має круглу форму і за відсутності радіального биття потік інфрачервоного випромінювання, що

потрапляє на ІЧ-датчик 8.п, є постійним при обертанні діафрагми 3. За наявності радіального биття наведена формула приймає вигляд  $N=m \cdot n$ .

Якщо швидкість обертання об'єкта контролю 1 дорівнює нулю, тобто об'єкт є нерухомим, то на виході перетворювача частота-напруга 9 сигнал дорівнює нулю. При цьому на виході

5 третього компаратора 12 присутній сигнал логічного нуля, оскільки на його вхід подається напруга з четвертого джерела опорної напруги 10. Отже, на виході генератора напруги, що змінюється лінійно, 14 присутній також нульовий сигнал та на виході другого компаратора 18 встановлений сигнал логічного нуля, на вхід якого подається напруга з виходу другого джерела опорної напруги 15. За таких умов в першому комутаторі 22 відкритий канал проходження

10 сигналу з виходу третього джерела опорної напруги 23 на вхід перетворювача напруга-частота 24. При цьому на його виході формується імпульсний електричний сигнал частотою  $f_1 \cdot n$ , який надходить на вхід дільника частоти 28. На виході останнього формується імпульсний сигнал

15 частотою  $f_1$  що подається на входи першого лічильника 31, генератора напруги, що змінюється ступінчасто, 36, ВКБ 39 та буферного реєстра 26. З такою частотою здійснюється запис інформації в буферний реєстр 26, яка надходить з п ІЧ-датчиків 8 і яка зберігається в ньому протягом часу  $1/f_1$  за який ця інформація читається другим комутатором 27 під дією вихідного імпульсного сигналу перетворювача напруга-частота 24 та перетворюється в послідовний потік.

20 З цією ж частотою інформація подається на другі входи першого АЦП 44 та ВКБ 39. Перший ключ 29 знаходить у відкритому стані, оскільки на його перший вхід сигнал з виходу закритого другого ключа 30 не надходить. Отже, на кривий двигун 4 через третій комутатор 33 надходить імпульсний ~~сигнал~~<sup>сигнал</sup>  $f_1$  який забезпечує обертання вала кривого двигуна 4 та

25 діафрагми 3. За період  $\beta / f_1$  сканується все теплове поле нерухомого об'єкта контролю 1,

де  $\beta$  - мінімальний кут повороту, що утворюється при подачі одного керуючого імпульсу на кривий двигун 4.

25 Генератор напруги, що змінюється ступінчасто, 36, перший 37 і другий 38 керуючі підсилювачі та ПЗБ 35 призначенні для формування сигналів розгортки ВКБ 39. Коли на вхід генератора напруги, що змінюється ступінчасто, 36 надходить імпульсний електричний сигнал з частотою  $f_1$ , то на його виході формується електричний сигнал ступінчастої форми з кількістю сходинок за період, рівно  $n$ . Цей сигнал надходить на входи керованих підсилювачів 37 і 38, коефіцієнт підсилення яких задається вихідними сигналами ПЗБ 35. При цьому коефіцієнти підсилення першого 37 та другого 38 керованих підсилювачів задаються так, що на їх видах формуються сигнали, пропорційні  $R_i \cdot \sin \phi_j$  та  $R_i \cdot \cos \phi_j$  відповідно, де  $R_i$  - радіус,  $\phi_j$  - кут координат елементарного участка поверхні об'єкта контролю 1 в полярній системі координат. При цьому  $i=0,n, j=0,m$ .

35 На першу вхідну шину ПЗБ 35 сигнали надходять з першого лічильника 31, коефіцієнт перерахунку якого дорівнює  $t$ . В результаті на екрані ВКБ 39 при наявності одного інформаційного сигналу, двох сигналів розгортки та сигналу з виходу дільника частоти 28 формується зображення, що відповідає тепловому полю об'єкта контролю 1.

40 Якщо швидкість обертання об'єкта контролю 1 більша нуля, тобто він починає обертатись, то на виході перетворювача частота-напруга 9 формується електричний сигнал, амплітуда якого пропорційна частоті обертання об'єкта контролю 1. Цей сигнал надходить на другий вхід третього компаратора 12 і, оскільки сигнал перевищує рівень напруги з виходу четвертого джерела опорної напруги 10, на виході третього компаратора 12 формується сигнал логічної одиниці, який запускає генератор напруги, що змінюється лінійно, 14, на виході якого починає нарощуватись амплітуда сигналу напруги. При перевищенні цим сигналом рівня напруги, що формується на виході другого джерела опорної напруги 15, на виході другого компаратора 18 встановлюється сигнал логічної одиниці, яким перший комутатор 22 перемикається в режим проходження сигналу з виходу генератора напруги, що змінюється лінійно, 14 на вхід перетворювача напруга-частота 24. На виході останнього формується сигнал з частотою

45  $f \cdot n = \frac{2\pi}{\omega} n \cdot m$  чергування імпульсів  $\frac{2\pi}{\omega}$ , де  $\omega$  - циклічна частота обертання об'єкта контролю 1. При

50 цьому на виході дільника частоти 28 формується імпульсний сигнал з частотою  $f$ , з якою здійснюється запис інформації в буферний реєстр 26, а потім читається з останнього через другий комутатор 27 з частотою, сигнал якої формується на виході перетворювача напруга-частота 24. З цією ж частотою сигнал надходить в перший АЦП 44 та на другий вхід ВКБ 39, в якому під дією сигналів з виходів блоків 35-38 формується теплове зображення об'єкта контролю 1.

На вхід крокового двигуна 4 через третій комутатор 33 та перший ключ 29 надходить імпульсний сигнал з частотою чередування імпульсів  $f = \frac{m}{2\pi} \cdot \bar{f}$ .

При цьому діафрагма 3 починає обертатися і за час зростання сигналу на виході генератора напруги, що змінюється лінійно, 14 швидкість обертання діафрагми 3 зрівнюється зі швидкістю обертання об'єкта контролю 1. Очевидно, що напруга на виході перетворювача частота-напруга 9 протягом періоду розгону крокового двигуна 4 зменшується і в момент порівняння швидкостей обертання діафрагми 3 та об'єкта контролю 1 напруга стає рівною нулю. При цьому на виході третього компаратора 12 з'являється сигнал логічного нуля, яким припиняється процес нарощування напруги на виході генератора напруги, що змінюється лінійно, 14 і період розгону крокового двигуна 4 на цьому завершується.

Зазначимо, що в момент появи сигналу логічної одиниці на виході другого компаратора 18 вмікається другий світлодіод 21, що свідчить про вимірювання теплового поля об'єкта контролю 1 в процесі його обертання.

Одночасно з виходу дільника частоти 28 сигнал надходить на вхід першого лічильника 31. На виході останнього, де формується сигнал переноса і який з'єднаний з  $\bar{f}$  через другий ключ 30 з першим входом першого ключа 29, формуються імпульси з періодом  $m \cdot \bar{f}$  і тривалістю  $\bar{f}$ , які надходять на перший ключ 29 і закривають його.

При цьому сканування об'єкта контролю 1, що обертається, здійснюється спочатку вздовж деякого радіуса  $R_j$ , кут між вибраним нульовим напрямом та  $R_j$  дорівнює  $j \cdot \beta$ . Коли здійснено сканування  $n$  точок, що лежать на радіусі  $R_j$ , по сигналу першого лічильника 31 другий ключ 30 відкривається і вихідним сигналом закриває перший ключ 29, який припиняє роботу крокового двигуна 4 на період, що відповідає  $\bar{f}$ . При цьому за цей час об'єкт контролю 1 повертається відносно діафрагми 3 на кут  $\beta$ . Робота крокового двигуна 4 відновлюється і сканування уже здійснюється вздовж радіуса  $R_{j+1}$ , кут між вибраним нульовим напрямом та  $R_{j+1}$  стає рівним  $(j+1) \cdot \beta$ . Виведення зображення на ВКБ 39 реалізується аналогічно, як описано вище. Так здійснюється кругова розгортка всього теплового зображення об'єкта контролю 1, що обертається.

У випадку, коли немає можливості сумістити оптичну вісь пристрою та геометричну вісь об'єкта контролю, тобто, коли спостереження проводиться під певним кутом до геометричної осі об'єкта контролю 1, його тепловий портрет спотворюється і на екрані ВКБ 39 замість теплового портрета, що відповідає концентричним колам, буде з'являтись еліпсоподібне зображення. Для компенсації такого спотворення пропонується наступний підхід.

Відомо, що рівняння еліпса у Декартовій системі координат має вигляд

$$\frac{x^2}{a^2} + \frac{y^2}{b^2} = 1, \quad (1)$$

де  $x$ ,  $y$  - горизонтальна і вертикальна осі системи координат,  $a$ ,  $b$  - горизонтальна і вертикальна напівосі еліпса відповідно, причому  $a=R$ , де  $R$  - радіус кола об'єкта контролю 1.

Перейдемо у полярну систему координат, використавши формули

$$x = r \cdot \cos \varphi, \quad (2)$$

де  $r$  - "радіус" еліпса,  $\varphi$  - кут повороту радіуса  $r$ . Підставимо (2) в (1) та отримаємо вираз

$$\frac{r^2}{b^2} - \frac{r^2 \cdot \cos^2 \varphi}{b^2 - r^2 \cdot \sin^2 \varphi} = 1. \quad (3)$$

Отже, тепер, маючи в будь-який момент часу параметри кута повороту  $\varphi$  діафрагми, меншу напіввісь еліпса  $b$  та відстань від центра еліпса до його краю ("радіус" еліпса), можна відновити реальний радіус спотвореного кола.

Це реалізовано в блоці обробки сигналу 25, який фіксує кут  $\varphi$ , параметри  $b$  і  $r$  та передає їх в блок обчислень 34, в якому за формулою (3) визначається дійсний радіус спотвореного кола.

Вихідний сигнал блока обчислень 34 за допомогою другого АЦП 32 перетворюється в цифровий код і надходить на другу вхідну шину ПЗБ 35, формуючи при цьому скориговані коефіцієнти підсилення першого 37 і другого 38 керованих підсилювачів, які відновлюють розмір зображення при його виведенні на ВКБ 39.

Якщо швидкість обертання об'єкта контролю 1 зменшилась, то код з вихідної шини п IЧ-датчиків 8.1...8.n надходить на вхідну шину блока порівняння швидкості 13, на його виході

формується сигнал логічної одиниці, який подається на вхід генератора напруги, що змінюється лінійно, 14. У випадку зменшення швидкості обертання об'єкта контролю 1 на виході перетворювача частота-напруга 9 з'являється сигнал, яким забезпечується зменшення напруги на виході генератора напруги, що змінюється лінійно, 14, внаслідок чого швидкість обертання кривого двигуна 4 також зменшується і швидкості обертання діафрагми 3 та об'єкта контролю 1 зрівнюються.

В разі зміни напрямку обертання об'єкта контролю 1 на виході блока визначення напрямку обертання 11 з'являється сигнал логічної одиниці, яким змінюється алгоритм роботи третього комутатора 33, блока порівняння швидкості 13 та первого лічильника 31. При появі на другому вході третього комутатора 33 сигналу логічної одиниці кривий двигун 4 обертає діафрагму 3 в протилежному напрямку. Формування розгортки зображення на екрані ВКБ 39 також здійснюється в протилежному напрямку, оскільки на другий вхід первого лічильника 31 подається сигнал логічної одиниці. Блок порівняння швидкості 13 при появі на його другому вході сигналу логічної одиниці коректно відпрацьовує задачу порівняння швидкості при зміні напрямку обертання об'єкта дослідження. Робота інших блоків пристрою залишається без змін.

Якщо об'єкт контролю 1 має радіальне биття, що виявляється в процесі його обертання, то вихідний сигнал з ІЧ-датчика 8.т надходить через конденсатор 16 на вхід первого компаратора 19. В моменти перевищення цим сигналом напруги, яка подається з виходу первого джерела опорної напруги 17, на виході первого компаратора 19 з'являється сигнал логічної одиниці, який викликає ввімкнення первого світлодіода 20, що свідчить про наявність радіального биття об'єкта контролю 1.

Визначення найбільш нагрітої точки об'єкта дослідження в процесі його роботи відбувається наступним чином. Послідовність сигналів з виходу другого комутатора 27 потрапляє на другий вхід первого АЦП 44, в якому по сигналу з виходу перетворювача напруга-частота 24 здійснюється їх перетворення в цифровий код. По закінченню первого перетворення в цифровому компараторі 47 здійснюється порівняння цифрового коду з виходу первого АЦП 44 та нульового коду, записаного в первому реєстрі 46. При цьому на виході цифрового компаратора 47 з'являється сигнал логічної одиниці, яким відкривається елемент I 45 і по сигналу з виходу перетворювача напруга-частота 24 цифровий код з виходу первого АЦП 44 записується в первый реєстр 46. При черговому циклі аналого-цифрового перетворення на виході первого АЦП 44 з'являється цифровий код, який порівнюється з кодом, записаним в первому реєстрі 46. I якщо цифровий код на виході первого АЦП 44 перевищує код, записаний в первому реєстрі 46, то відбувається перезапис коду в первый реєстр 46. Таким чином в процесі аналого-цифрового перетворення сигналів, що відповідають температурі різних точок об'єкта дослідження, в первому реєстрі 46 зберігається код, що відповідає найвищій температурі об'єкта дослідження. По завершенню повного оберту досліджуваного об'єкта на виході другого лічильника 40, коефіцієнт ділення якого дорівнює N, з'являється імпульс, яким інформація з первого реєстра 46 переписується в другий реєстр 42 та виводиться на цифровий індикатор 43. По задньому фронту зазначеного імпульсу на виході формувача сигналу 41 з'являється короткий імпульс, яким первый реєстр 46 обнуляється.

Підкреслимо, що з виходу первого АЦП 44 цифровий код передається в ЕОМ.

#### ФОРМУЛА КОРИСНОЇ МОДЕЛІ

Пристрій для безконтактного вимірювання температури, що містить об'єктив, діафрагму, отвір якої являє собою сектор, доповнений круглим отвором, центр якого співпадає з вершиною сектора та головною оптичною віссю, п дзеркал, закріплених на оптичній лінійці таким чином, що їх площини утворюють кут  $45^\circ$  з головною оптичною віссю, діафрагмуючі отвори п дзеркал являють собою еліпси, на одній оптичній осі з якими встановлені п лінз та лінійка п інфрачервоних датчиків, кривий двигун, перетворювач частота-напруга, чотири джерела опорної напруги, блок визначення напрямку обертання, три компаратори, блок порівняння швидкості, генератор напруги, що змінюється лінійно, конденсатор, два світлодіоди, три комутатори, перетворювач напруга-частота, блок обробки сигналу, буферний реєстр, дільник частоти, два ключі, первый лічильник, два аналого-цифрових перетворювачі, блок обчислення, постійно запам'ятовуючий блок, генератор напруги, що змінюється ступінчасто, два керуючі підсилювачі, відеоконтрольний блок, причому вихід n-го інфрачервоного датчика через конденсатор підключений до другого входу первого компаратори, первый вхід якого з'єднаний з виходом первого джерела опорної напруги, а вихід підключений до входу первого світлодіода, вихід третього джерела опорної напруги з'єднаний з першим входом первого комутатора, другий вхід якого разом з другим входом другого компаратора підключений до виходу генератора

напруги, що змінюється лінійно, перший вхід другого компаратора з'єднаний з виходом другого джерела опорної напруги, а вихід підключений до третього входу першого комутатора, до входу другого світлодіода та до першого входу другого ключа, другий вхід якого з'єднаний з виходом першого лічильника, перший вхід якого, а також другий вхід першого ключа, вхід буферного реєстра, вхід генератора напруги, що змінюється ступінчасто, та перший вхід відеоконтрольного блока підключені до виходу дільника частоти, вхід якого, а також вхід другого комутатора та перший вхід першого аналого-цифрового перетворювача з'єднані з виходом перетворювача напруга-частота, вхід якого підключений до виходу першого комутатора, виходи п інфрачервоних датчиків з'єднані з вхідною шиною буферного реєстра, вихідна шина якого підключена до вхідної шини другого комутатора, вихід якого з'єднаний з другим входом першого аналого-цифрового перетворювача, вихід другого комутатора підключений до другого входу відеоконтрольного блока, третій і четвертий входи якого з'єднані, відповідно, з виходами першого і другого керуючих підсилювачів, перші входи яких підключені до виходу генератора напруги, що змінюється ступінчасто, вихідна шина першого лічильника з'єднана з першою вхідною шиною постійно запам'ятовуючого блока, перший і другий виходи якого підключені, відповідно, до других входів першого і другого керуючих підсилювачів, виходи першого та другого світлодіодів з'єднані з загальною шиною, вихід другого ключа підключений до першого входу першого ключа, вал кривого двигуна зв'язаний з діафрагмою, вихід перетворювача частота-напруга підключений до другого входу третього компаратора, перший вхід якого з'єднаний з виходом четвертого джерела опорної напруги, а вихід підключений до першого входу генератора напруги, що змінюється лінійно, другий вхід якого з'єднаний з виходом блока порівняння швидкості, перший вхід якого разом зі входом блока обробки сигналу підключений до виходу перетворювача напруга-частота, вихідна шина буферного реєстра з'єднана з вхідною шиною блока обробки сигналу, вихід якого підключений через блок обчислення до входу другого аналого-цифрового перетворювача, вихідна шина якого з'єднана з другою вхідною шиною постійно запам'ятовуючого блока, виходи п інфрачервоних датчиків підключені до вхідних шин перетворювача частота-напруга, блока порівняння швидкості та блока визначення напрямку обертання, вихід якого з'єднаний з другими входами блока порівняння швидкості, першого лічильника та третього комутатора, вихідна цифрова шина якого підключена до вхідної цифрової шини кривого двигуна, а перший вхід з'єднаний з виходом першого ключа, який **відрізняється** тим, що в нього введено другий лічильник, формувач сигналу, елемент I, два реєстри, цифровий компаратор та цифровий індикатор, причому вихідна цифрова шина першого аналого-цифрового перетворювача підключена до ЕОМ та з'єднана з вхідною цифровою шиною першого реєстра, вихідна цифрова шина якого підключена до вхідної цифрової шини другого реєстра та до першої вхідної цифрової шини цифрового компаратора, друга вхідна цифрова шина якого з'єднана з вхідною цифровою шиною першого аналого-цифрового перетворювача, а вихід підключений до другого входу елемента I, перший вхід якого разом з входом другого лічильника з'єднані з виходом перетворювача напруга-частота, вихід елемента I підключений до першого входу першого реєстра, другий вхід якого з'єднаний з виходом формувача сигналу, вхід якого разом зі входом другого реєстра підключений до виходу другого лічильника, вихідна цифрова шина другого реєстра з'єднана з вхідною цифровою шиною цифрового індикатора.

